

## 材料の力学1 Step 2 第7回演習問題（2021/6/8 実施）

- [1] 図1に示すように、右端に半径 $2r$ の剛体円盤が取り付けられた段付きの丸棒部材が点Oで壁に固定されている。剛体円盤には外力 $2P$ が対称かつ $z$ 軸に、外力 $P$ が対称かつ $y$ 軸にそれぞれ平行に作用している。このとき以下の問い合わせに答えよ。ただし、丸棒部材の横弾性係数は $G$ とする。

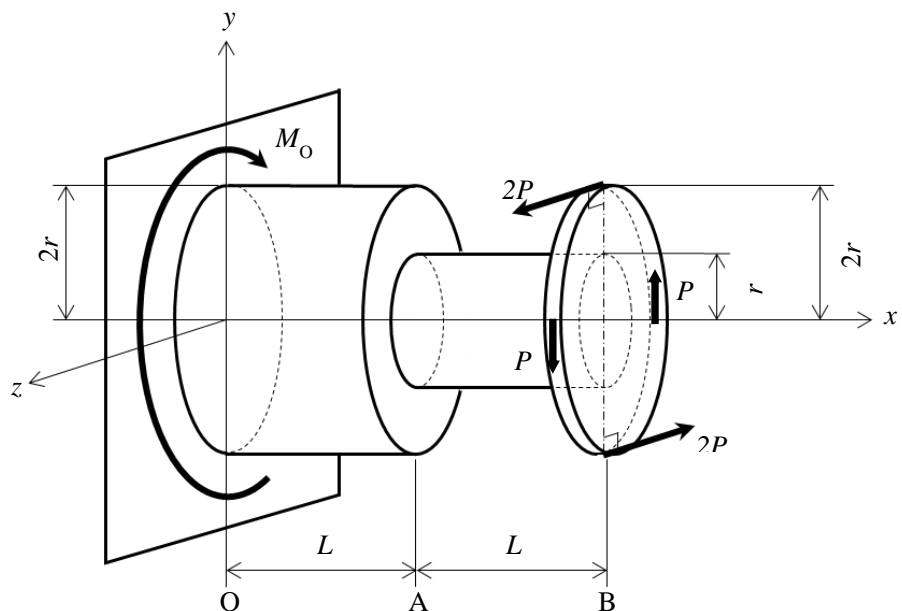


Fig. 1 剛体円盤が取り付けられた段付き丸棒部材。

- (1) 段付き丸棒部材について、半径 $2r$ の部分の断面二次極モーメント $I_{p1}$ 、半径 $r$ の部分の断面二次極モーメント $I_{p2}$ を求めよ。
- (2) 壁からの反モーメント $M_0$ を求めよ。
- (3) OB間に生じるねじれ角 $\phi_{OB}$ を求めよ。
- (4) ABの中点( $x = 3L/2$ )におけるせん断応力 $\tau_{max}$ を求めよ。

- (1) 段付き丸棒部材について、半径  $2r$  の部分の断面二次極モーメント  $I_{p1}$ 、半径  $r$  の部分の断面二次極モーメント  $I_{p2}$  をそれぞれ求めよ。
- 半径  $\rho$  の丸棒部材において断面二次極モーメント  $I_p$  は

$$I_p = \int_A r^2 dA \quad (1.1)$$

と表せる。ここで、微小面積  $dA$  は次のようになる。

$$dA = 2\pi r dr \quad (1.2)$$

したがって、断面二次極モーメント  $I_p$  は

$$\begin{aligned} I_p &= \int_A r^2 dA \\ &= \int_0^\rho 2\pi r^3 dr \\ &= \frac{1}{2}\pi\rho^4 \end{aligned} \quad (1.3)$$

と表される。よって、半径  $2r$  の部分の断面二次極モーメント  $I_{p1}$ 、半径  $r$  の部分の断面二次極モーメント  $I_{p2}$  は

$$\begin{aligned} I_{p1} &= \frac{1}{2}\pi\rho^4 \\ &= \frac{1}{2}\pi \times (2r)^4 \\ &= 8\pi r^4 \end{aligned} \quad (1.4)$$

$$\begin{aligned} I_{p2} &= \frac{1}{2}\pi\rho^4 \\ &= \frac{1}{2}\pi \times (r)^4 \\ &= \frac{1}{2}\pi r^4 \end{aligned} \quad (1.5)$$

と求められる。

(2) 壁からの反モーメント  $M_0$  を求めよ.

外力  $P$  によるモーメント  $M$  は

$$M=2 \times (2P+P) \times 2r = 12Pr \quad (1.6)$$

より、部材全体の FBD は以下のようになる.

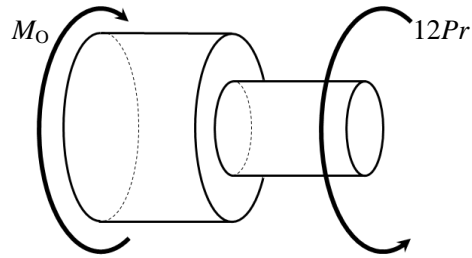


Fig. 1.1 部材全体の FBD.

モーメントのつり合い式より

$$-M_0 + 12Pr = 0 \quad (1.7)$$

が成り立つ. よって、壁からの反モーメント  $M_0$  は

$$M_0 = 12Pr \quad (1.8)$$

となる.

(3) OB 間に生じるねじれ角  $\phi_{OB}$  を求めよ.

ねじれ角  $\phi_{OB}$  は次のように求められる.

$$\begin{aligned} \phi_{OB} &= \phi_{OA} + \phi_{AB} \\ &= \int_0^L \theta_1(x) dx + \int_L^{2L} \theta_2(x) dx \\ &= \int_0^L \frac{M(x)}{GI_{p1}} dx + \int_L^{2L} \frac{M(x)}{GI_{p2}} dx \end{aligned} \quad (1.9)$$

ただし、 $\theta$ は単位長さあたりのねじれ角（比ねじれ角）、 $M(x)$  は位置  $x$  の仮想断面におけるねじりモーメントを表す。ここで、ねじりモーメント  $M(x)$  を求める。図 1.2 のように FBD を描くとモーメントのつり合い式は

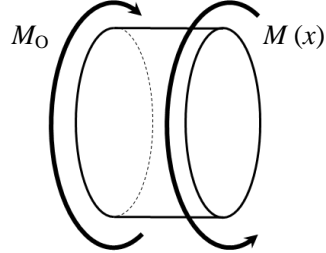


Fig. 1.2 FBD.

$$-M_O + M(x) = 0 \quad (1.10)$$

となり、式 (1.8) を踏まえると

$$M(x) = M_O = 12Pr \quad (1.11)$$

と得られる。よって、式 (1.9) に式 (1.4), (1.5), (1.11) を代入することでねじれ角  $\varphi_{OB}$  は

$$\begin{aligned} \varphi_{OB} &= \int_0^L \frac{M(x)}{GI_{p1}} dx + \int_L^{2L} \frac{M(x)}{GI_{p2}} dx \\ &= \int_0^L \frac{12Pr}{8\pi Gr^4} dx + \int_L^{2L} \frac{12Pr}{\frac{1}{2}\pi Gr^4} dx \\ &= \frac{3P}{2\pi Gr^3} [x]_0^L + \frac{24P}{\pi Gr^3} [x]_0^L \\ &= \frac{51PL}{2\pi Gr^3} \end{aligned} \quad (1.12)$$

と求められる。

(4) AB の中点 ( $x = 3L/2$ ) における最大せん断応力  $\tau_{max}$  を求めよ。

位置  $x$  において、せん断応力は表面で最大となる。位置  $x$  での中心軸から距離  $\rho$  離れた最大せん断応力  $\tau_{max}(x)$  は

$$\tau_{max}(x) = G\rho\theta(x) \quad (1.13)$$

$$= \frac{M(x)}{I_p} \rho$$

となる。

よって、 $x = 3L/2$  におけるせん断応力  $\tau_{\max}$  は式 (1.5), (1.11) を代入すると

$$\begin{aligned}\tau_{\max}(x) &= \frac{12Pr}{\frac{1}{2}\pi r^4} r \\ &= \frac{24P}{\pi r^2}\end{aligned}\tag{1.14}$$

と求められる。

- [2] 図2に示すように点Oにおいて壁に固定された丸棒部材がある。丸棒のOA間には分布トルク $q$ が、点B( $x=2L$ )にはねじりモーメント $T$ が作用している。横弾性係数を $G$ 、点Oにおける反モーメントを $M_0$ として以下の設問に答えよ。ただし、ねじりモーメントは $x$ 軸に対して右ねじの方向を正方向として答えよ。

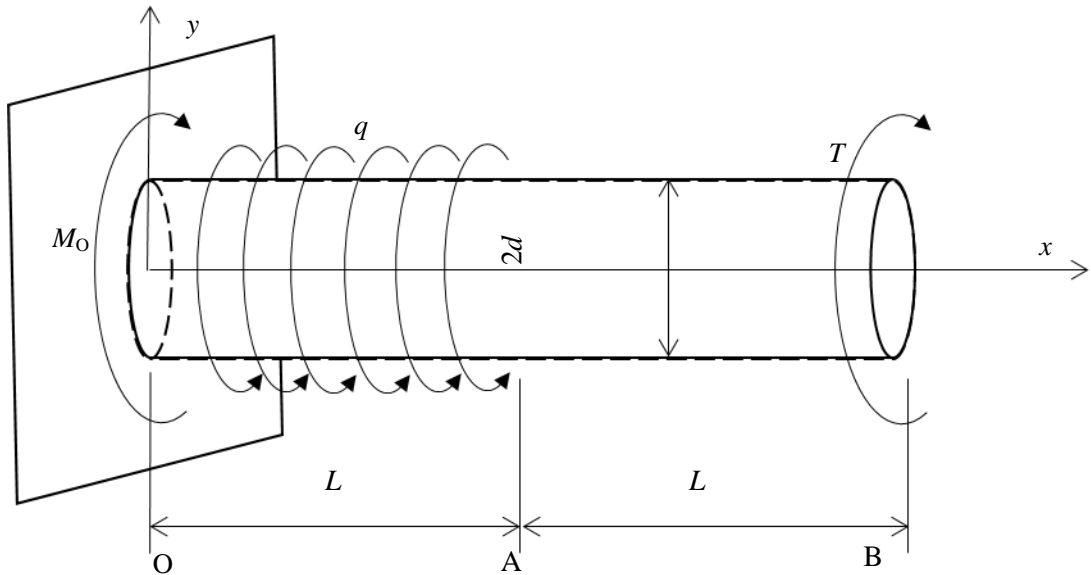


Fig.2 丸棒部材

- (1) ねじり剛性 $GI_p$ を求めよ。
- (2) FBDを描き、 $M_0$ を求めよ。
- (3) ねじりモーメント $M$ の $x$ 方向分布を描け。ただし、 $qL > T > 0$ とする。
- (4) OB間に生じるねじれ角 $\varphi_{OB}$ を求めよ。
- (5) (4)で求めたねじれ角 $\varphi_{OB}$ が $\varphi_{OB} = 0$ である時、 $T$ を $q$ 、 $L$ を用いて表せ。

$$\text{※ねじれ角 } \varphi = \int \frac{M}{GI_p} dx$$

(1) ねじり剛性 $GI_p$ を求めよ.

まず、断面2次極モーメント $I_p$ を求める.

$$I_p = \int r^2 dA = 2\pi \int_0^d r^3 dr = \frac{1}{2}\pi d^4 \quad (2.1)$$

したがって、各部材のねじり剛性は

$$GI_p = \frac{1}{2}\pi Gd^4 \quad (2.2)$$

(2) FBDを描き、 $M_o$ を求めよ.

FBDは以下のようになる.

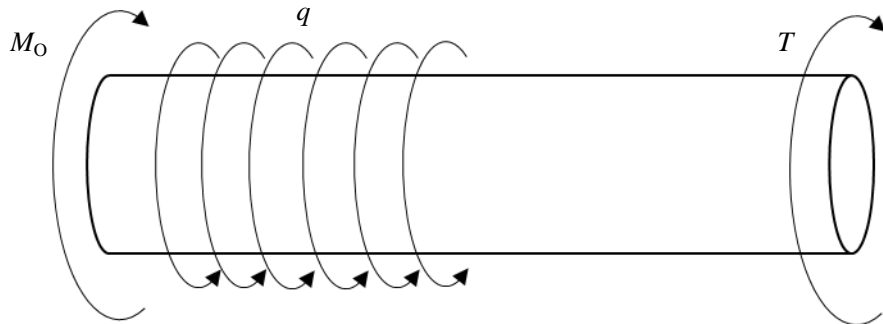


Fig.2.1 FBD

モーメントのつりあい式より、 $M_o$ と $M_D$ の関係は

$$\begin{aligned} -M_o + qL - T &= 0 \\ \therefore M_o &= qL - T \end{aligned} \quad (2.3)$$

(3) ねじりモーメント $M$ の $x$ 方向分布を描け. ただし、 $qL > T > 0$ とする.

仮想断面におけるねじりモーメント $M(x)$ を求める.

(i)  $0 \leq x \leq L$  のとき

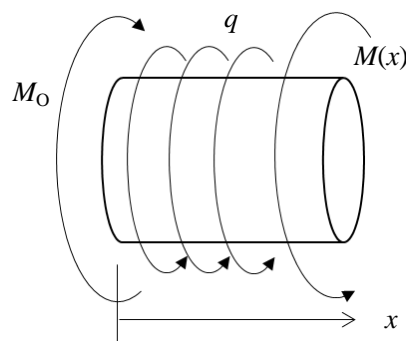


Fig.2.2 仮想断面( $0 \leq x \leq L$ )

図2.2より、モーメントのつりあい式は以下のようになる。

$$\begin{aligned}
 -M_o + qx + M(x) &= 0 \\
 \therefore M(x) &= -qx + M_o \\
 &= -q(x - L) - T
 \end{aligned} \tag{2.4}$$

(ii)  $L \leq x \leq 2L$  のとき

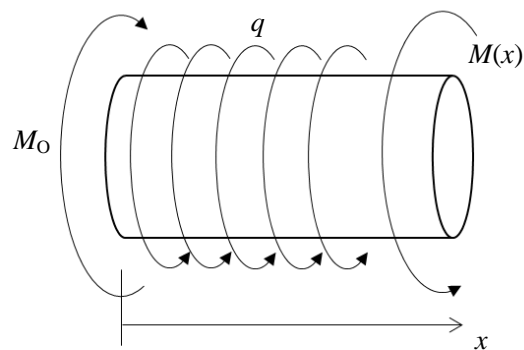


Fig.2.3 仮想断面( $L \leq x \leq 2L$ )

図2.3より、モーメントのつりあい式は以下のようになる。

$$\begin{aligned}
 -M_o + qL + M(x) &= 0 \\
 \therefore M(x) &= -T
 \end{aligned} \tag{2.5}$$

以上の結果より

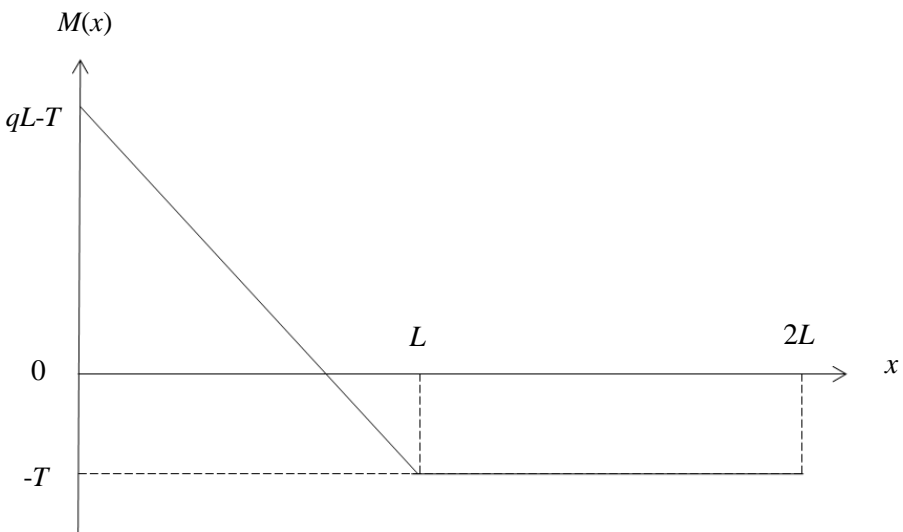


Fig.2.4  $M(x)$  の  $x$  方向分布

(4) OB間に生じるねじれ角  $\varphi_{OB}$  を求めよ.

OB間に生じるねじれ角  $\varphi_{OB}$  は以下のように求まる.

$$\begin{aligned}
 \varphi_{OB} &= \int_0^{2L} \frac{M}{GI_p} dx \\
 &= + \int_0^L \frac{-q(x-L)-T}{GI_p} dx + \int_L^{2L} \frac{-T}{GI_p} dx \\
 &= \frac{L}{\pi G d^4} (qL - 4T)
 \end{aligned} \tag{2.6}$$

(5) (4)で求めたねじれ角  $\varphi_{OB}$  が  $\varphi_{OB} = 0$  である時,  $T$ を  $q$ ,  $L$ を用いて表せ.

$$\begin{aligned}
 \varphi_{OB} &= 0 \\
 qL - 4T &= 0 \\
 \therefore T &= \frac{1}{4} qL
 \end{aligned} \tag{2.7}$$